

# 徐汇区2020-2021学年第一学期期末考质量监测

## 高二（高三）年级地理学科试卷

2021.1

满分100分时间60分钟

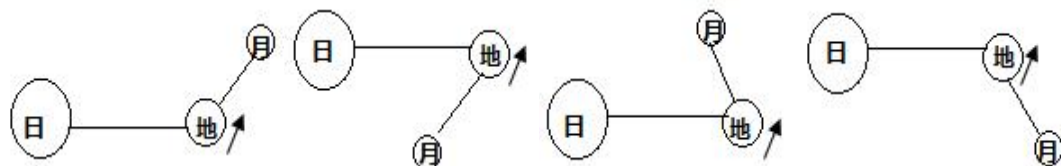
考生注意:

1. 本试卷共6页, 答题时间60分钟。
2. 全卷包括两大题, 第一大题为选择题, 第二大题为综合分析题。
3. 答卷前, 务必在答题纸正面清楚地填写姓名、考生号。
4. 答案必须全部做在答题纸上, 用黑色水笔填写。

### 一、选择题 (共 40 分, 每小题 2 分。每小题只有一个正确答案。)

1. 2020 年 11 月 24 日(农历十月初十), 嫦娥五号探测器成功发射, 开启了我国首次地外天体采样返回之旅。

下列示意图中, 最接近发射当天日、地、月位置关系的是



A.

B.

C.

D.

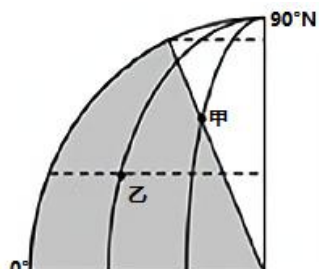
2. 太阳活动增强时会导致无线电短波通讯中断, 主要是因为太阳风影响了大气圈中的

- A. 对流层      B. 平流层      C. 臭氧层      D. 电离层

3. 右图为某日局部地球光照图 (阴影表示黑夜), 图中甲、乙两地的正午太阳高度和昼夜长短存在差异。

甲地相较于乙地

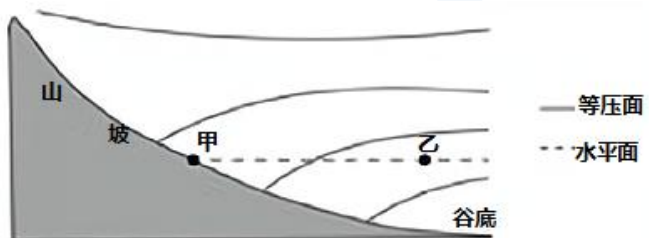
- A. 正午太阳高度更大, 白昼时间更长  
B. 正午太阳高度更大, 白昼时间更短  
C. 正午太阳高度更小, 白昼时间更短  
D. 正午太阳高度更小, 白昼时间更长



4. 山东省沂蒙地区的岱崮地貌是我国第五大岩石造型地貌, 其四壁陡峭, 顶部平坦, 岩层中含有丰富的海洋生物化石。组成该地貌的岩石多为

- A. 石灰岩、页岩  
B. 花岗岩、石英岩  
C. 玄武岩, 板岩  
D. 大理岩、片岩

5. 位于东太平洋中脊的复活节岛, 被认为是世界上最偏僻的岛。该岛的成因是
- A. 海底扩张处泥沙物质堆积      B. 板块俯冲处地下岩层断裂  
 C. 海底扩张处岩浆涌出冷凝      D. 板块俯冲处地壳上拱隆起
6. 在南美洲的热带草原上分布着一种纺锤树, 其粗大的树干可吸收大量水分并储存。在纺锤树的树干吸收水分期间, 当地
- A. 受赤道低气压带控制      B. 受来自内陆的东南信风控制  
 C. 受副热带高气压带控制      D. 受来自海洋的中纬西风控制
7. 下图为某山谷近地面气压的垂直分布图。此时, 甲、乙两地的气温和气压相比较



- ①甲地气压低于乙地      ②甲地气压高于乙地  
 ③甲地气温低于乙地      ④甲地气温高于乙地  
 A. ①③      B. ①④      C. ②③      D. ②④

8. 2020 年, 江淮流域梅雨季的累积雨量创 1961 年以来历史新高。梅雨带的位置与某一气压系统关系密切, 该气压系统为

- A. 蒙古、西伯利亚高压      B. 副热带高压  
 C. 印度低压      D. 阿留申低压

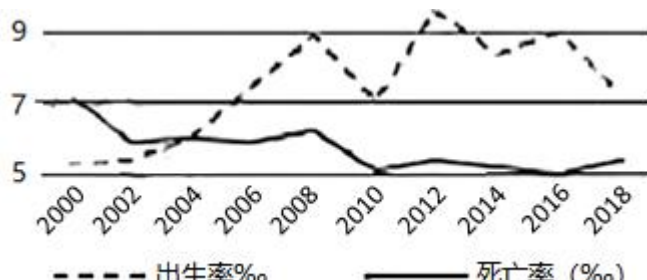
9. 地处我国东北的浑江在每年 4 月份会出现一次历时较短、洪峰较小的汛期。该汛期主要的河水补给来源是

- A. 地下水      B. 积雪融水      C. 雨水      D. 湖泊水

10. 下列洋流中, 与涌升流有关的是
- A. 日本暖流      B. 加利福尼亚寒流      C. 千岛寒流      D. 北大西洋暖流

11. 读“2000 年~2018 年上海市人口出生率、死亡率变化统计图”。图中反映上海市人口总量的自然变动态势是

- A. 整体趋减  
 B. 先减后增  
 C. 先增后减



D. 逐年波动式增长

12. 从世界范围看, 人口分布的趋势是向平原和沿海地区集中。下列地区中。人口密度最大的是

- A. 美国中部平原      B. 澳大利亚西部沿海地区  
C. 欧洲西部平原      D. 加拿大东北部沿海地区

13. 下列城市中, 属于世界六大城市群中心城市的是

- A. 伯明翰      B. 香港      C. 华盛顿      D. 巴黎

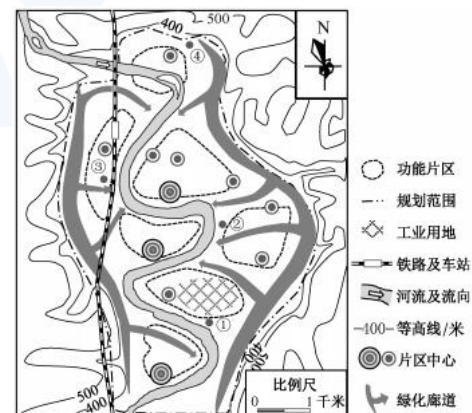
14. 上海轨交 15 号线北起宝山区顾村公园站, 途经普陀区、长宁区、徐汇区, 南至闵行区紫竹高新区站。

该轨交的建成通车将

- ①有利于城市郊区化发展  
②缓解城市交通堵塞问题  
③改善城市居民居住条件  
④改善城市空气质量
- A. ①②③      B. ①②④  
C. ②③④      D. ①②③④

15. 右图为“某城市空间结构规划示意图”。影响该城市空间形态形成的主要因素是

- A. 地形  
B. 交通  
C. 生产力  
D. 政策



16. 山东寿光采用冬暖式大棚种植蔬菜, 是我国著名的“蔬菜之乡”。冬暖式大棚改善了农业区位条件中

- A. 水热条件      B. 地形条件      C. 市场条件      D. 光照条件

17. 绍兴市柯桥区是我国传统的纺织产业集群地, 集聚了化纤、织造, 印染、家纺等众多企业, 这些企业集中在柯桥区可以节省

- ①劳动力成本      ②基础设施      ③土地资源      ④原料成本
- A. ①②      B. ③④      C. ②③      D. ①④

18. 长江三角洲工业区与京津唐工业区相比, 其区位条件的最大劣势在于

- A. 市场和集聚      B. 交通和集聚      C. 原料和燃料      D. 交通和技术

19. 下列部门中, 属于第三产业的是

- A. 景观设计      B. 滩涂养殖      C. 商品房建筑      D. 卫生设备制造

20. 在世界产业结构调整过程中, 一些劳动力密集型和资源密集型工业由发达国家向发展中国家转移, 这种转移将导致发展中国家

- ①环境污染加剧      ②农业总产值下降      ③对外贸易额增加      ④就业率升高

- A. ①②③      B. ②③④      C. ①③④      D. ①②④

## 二、综合分析题(共 60 分)

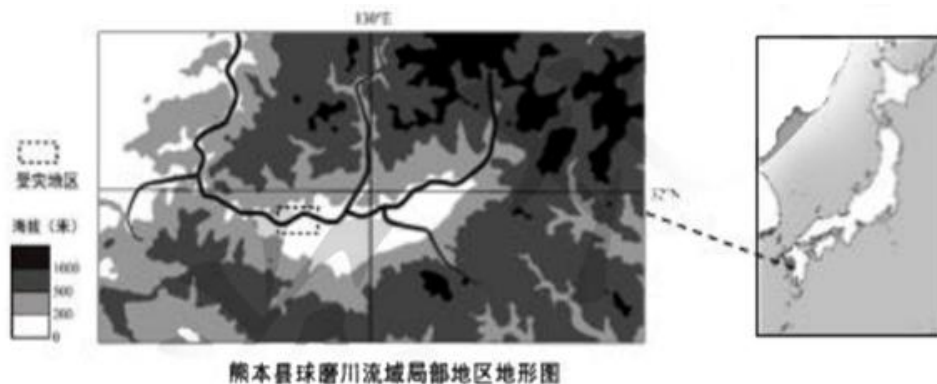
(一) 当地时间 2020 年 7 月 5 日, 受持续暴雨天气影响, 日本九州地区熊本县发生了一系列自然灾害。

阅读图文资料, 回答问题。(20 分)

材料一: 2020 年 7 月 5 日, 日本熊本县降下 50 年一遇的大暴雨, 球磨川流域发生了大规模洪灾, 当地还相继发生了山体滑坡、泥石流等灾害: 截止 6 日, 造成了四十多人死亡, 十多人失踪, 受灾人口超过二十万。

表 1 近二十年来熊本县重大自然灾害统计

时间	自然灾害	时间	自然灾害
2000.6.8	地震	2012.4.2	强风
2003.7.18	洪涝、滑坡、泥石流等	2012.7.11	洪涝、滑坡、泥石流等
2005.7.1	洪涝、滑坡。泥石流等	2012.9.15	台风, 洪涝、滑坡、泥石流等
2005.9.3	台风, 洪涝、滑坡、泥石流等	2015.7.13	地震
2007.7.5	洪涝、滑坡、泥石流等	2016.4.14	地震
2008.6.19	洪涝、滑坡、泥石流等	2017.7.5	大雨、强风
2011.6.10	洪涝、滑坡、泥石流等	2020.7.4	洪涝、滑坡、泥石流等



21. 所示材料体现了自然灾害的哪些基本特征? (4 分)

22. 据表归纳熊本县洪涝灾害发生的两个主要时间段, 并分别分析原因。(6 分)

23. 从地形角度, 分析此次受灾地区易发生洪涝灾害的主要原因。 (4 分)

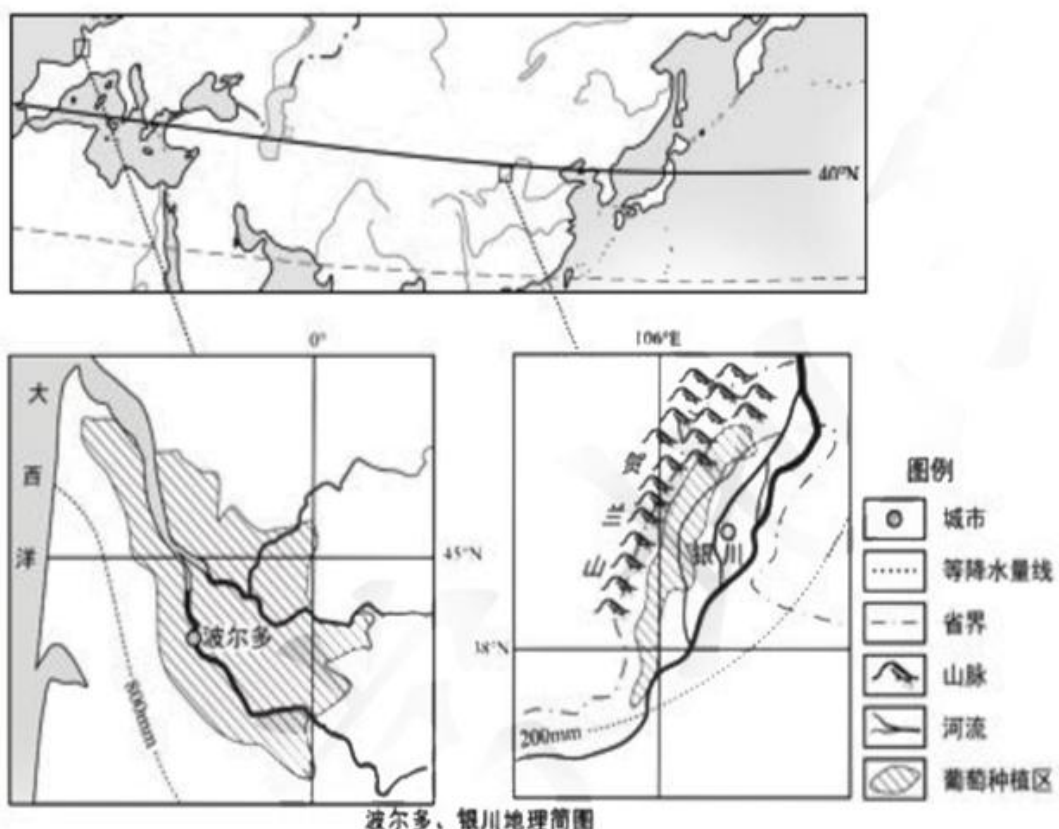
24. 列举熊本县在减轻洪涝灾害方面可以采取的主要措施。 (6 分)

(二)宁夏贺兰山东麓被称为酿酒葡萄种植的“黄金地带”, 原产于法国波尔多的赤霞珠是宁夏当地种植最广泛的红葡萄品种。阅读图文资料, 回答问题。(20 分)

材料一: 4月份是赤霞珠的萌芽期, 若遇到低于-3℃的低温, 则易遭受霜冻的威胁。7、8月是赤霞珠的生长期, 若降水量过多, 则浆果的含糖量较低, 难以酿制优质酒。赤霞珠的根系较浅, 若在重盐碱地, 沼泽地或土质黏重, 通透性差的土壤中种植, 则生产能力较弱。

材料二: 宁夏贺兰山东麓多为砂砾土、风沙土, 土壤中矿物元素的含量较低。

材料三: 宁夏的葡萄种植大多以小型化、分散式经营, 当地专业技术人员缺乏, 农户对葡萄的高效栽培了解不深。本地大规模的葡萄酒加工企业较少, 且产品的知名度不高。



25. 贺兰山东麓与波尔多的地理环境差异明显, 两地分别属于何种陆地自然带? (4 分)
26. 在贺兰山东麓与波尔多两地中, 赤霞珠在萌芽期受霜冻灾害威胁较小的可能是何地? 说明理由。 (4 分)
27. 判断贺兰山东麓的农业地域类型。从自然地理角度, 分析当地种植赤霞珠的区位优势条件。 (6 分)
28. 从可持续发展的角度, 为宁夏贺兰山东麓的酿酒葡萄产业发展提出合理的建议。 (6 分)

(三) 2020 年我国火星探测器“天问一号”发射升空, 将对火星表面形态等开展科学探测。从气候到地貌, 我国的柴达木盆地是最具代表性的类火星环境, 对其进行的科学考察能为火星探测提供极为重要的类比资料。阅读图文资料, 回答问题。(20 分)

材料一: 美国火星探测器曾在 1976 年测得火星表面两地的昼夜温差均在 50℃左右。柴达木盆地同样气温变化剧烈, 昼夜温差常在 30℃左右, 且风力强盛, 8 级以上大风日数年均可达 25-75 天。类火星环境对柴达木盆地的经济发展有一定的影响, 当地政府扬长避短, 把新能源开发作为经济增长的战略性主导产业来培育。

表 1 地球与火星主要数据对比

行星	质量 (地球=1)	体积 (地球=1)	表面平均温 度 (℃)
地球	1	1	1
火星	0.11	0.15	-23



图 1 柴达木盆地典型地貌景观



图 2 柴达木盆地地理简图

29. 柴达木盆地与火星表面昼夜温差大的共同原因是什么?两者形成的根本原因有何不同?(6 分)

30. 判断柴达木盆地典型地貌的所属类型。从地理环境整体性的角度, 分析该种地貌在柴达木盆地的形成原因。(6 分)

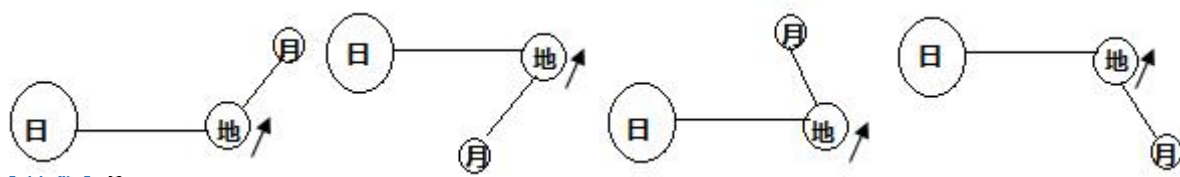
31. 阐述柴达木盆地重点发展新能源产业的合理性。(4 分)

32. 从市场角度分析柴达木盆地开发新能源可能会遇到的问题, 并提出针对性的解决措施。(4 分)

## 高二（高三）年级地理学科试卷答案解析版

### 一、选择题（共 0 分，每小题 2 分。每小题只有一个正确答案。）

1. 2020 年 11 月 24 日(农历十月初十), 嫦娥五号探测器成功发射, 开启了我国首次地外天体采样返回之旅。下列示意图中, 最接近发射当天日、地、月位置关系的是 ( )

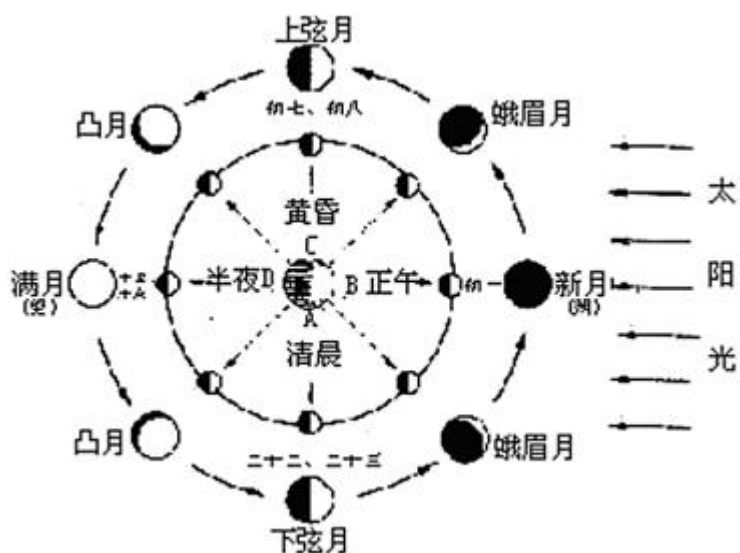


#### 【解析】

#### 【分析】

【详解】当月球位于满月位置时, 三个天体处于一条直线, 地球在中间(但月球不在地影内) ; 当月球月相是新月时, 三个天体处于一条直线, 月球在中间。由材料知, 此时是十月初十, 根据月相, 判断日、地、月之间的关系, 图中 D 选项符合题意, 故选 D。

#### 【点睛】月相变化图



2. 太阳活动增强时会导致无线电短波通讯中断, 主要是因为太阳风影响了大气圈中的 ( )

- A. 对流层      B. 平流层      C. 臭氧层      D. 电离层

【答案】D

【解析】

【分析】

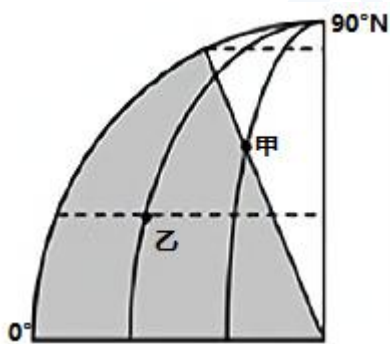
本题考查太阳活动对地球的影响。

【详解】电离层对电波传播的影响与人类活动密切相关, 如无线电通讯、广播、无线电导航、雷达定位等。在正常的电离层状态下, 它正好对应于最低可用频率和最高可用频率之间。但由于多径效应, 信号衰落较大; 电离层暴和电离层突然骚扰, 对电离层通讯和广播可能造成严重影响, 甚至讯号中断。故选 D。

【点睛】大气垂直分层的主要依据是: 温度、密度、大气运动状况 大气共分为三层: 对流层、平流层和高层大气。臭氧层在平流层, 电离层在高层大气中。

3. 下图为某日局部地球光照图 (阴影表示黑夜), 图中甲、乙两地的正午太阳高度和昼夜长短存在差异。

甲地相较于乙地 ( )



- A. 正午太阳高度更大, 白昼时间更长      B. 正午太阳高度更大, 白昼时间更短  
C. 正午太阳高度更小, 白昼时间更短      D. 正午太阳高度更小, 白昼时间更长

【答案】D

【解析】

【分析】

【详解】读图可知, 晨昏线和北极圈相切, 且北极圈以北的地区出现极昼现象, 可判断该日为6月22日, 夏至日, 太阳直射北回归线, 图中甲地比乙地纬度高, 乙位于北回归线上, 乙的正午太阳高度达最大值90°, 所以甲的正午太阳高度小于乙, 越往北昼越长, 所以甲的白昼时间比乙的更长, 故D正确, 自然排除ABC。

4. 山东省沂蒙地区的岱崮地貌是我国第五大岩石造型地貌, 其四壁陡峭, 顶部平坦, 岩层中含有丰富的海洋生物化石。组成该地貌的岩石多为( )

- A. 石灰岩、页岩
- B. 花岗岩、石英岩
- C. 玄武岩、板岩
- D. 大理岩、片岩

【答案】A

【解析】

【详解】结合材料分析, 组成岱崮地貌的岩层中含有丰富的海洋生物化石, 可知该岩石应为海洋环境中沉积形成的沉积岩, 如石灰岩、页岩, A正确; 花岗岩和玄武岩属于岩浆岩, 石英岩、板岩、大理岩、片岩属于变质岩, 这些岩石中一般不会形成化石, B、C、D错误。故选A。

5. 位于东太平洋中脊的复活节岛, 被认为是世界上最偏僻的岛。该岛的成因是( )

- A. 海底扩张处泥沙物质堆积
- B. 板块俯冲处地下岩层断裂
- C. 海底扩张处岩浆涌出冷凝
- D. 板块俯冲处地壳上拱隆起

【答案】C

【解析】

【分析】

【详解】大洋中脊位于海底扩张处, 板块的生长边界上, 岩浆不断上涌冷凝, 露出水面, 形成岛屿, 故C正确, 自然排除ABD。

6. 在南美洲的热带草原上分布着一种纺锤树, 其粗大的树干可吸收大量水分并储存。在纺锤树的树干吸收水分期间, 当地 ( )

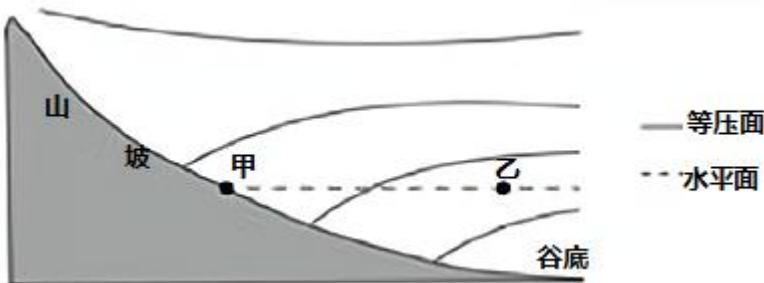
- A. 受赤道低气压带控制      B. 受来自内陆的东南信风控制  
C. 受副热带高气压带控制      D. 受来自海洋的中纬西风控制

【答案】A

【解析】

【详解】由材料可知, 纺锤树生长在南美洲的热带草原气候区, 气候特征为全年高温, 分干湿两季, 其中干季受信风带控制, 湿季受赤道低气压带控制; 纺锤树粗大的树干可吸收大量的水分并储存, 只能在降水丰富的湿季吸收水分, 此时受赤道低气压带控制, 降水丰沛。故选 A。

7. 下图为某山谷近地面气压的垂直分布图。此时, 甲、乙两地的气温和气压相比较 ( )



①甲地气压低于乙地    ②甲地气压高于乙地

③甲地气温低于乙地    ④甲地气温高于乙地

- A. ①③      B. ①④      C. ②③      D. ②④

【答案】B

【解析】

【详解】读图分析, 甲地位于山坡, 等压面下凹, 气压较低, 乙地位于谷地, 等压面上凸, 气压较高; 此时应为白天, 山坡受热较多, 气温较高, 谷地受热较少, 气温较低。①④正确。故选 B。

8. 2020 年, 江淮流域梅雨季的累积雨量创 1961 年以来历史新高。梅雨带的位置与某一气压系统关系密切, 该气压系统为 ( )

- A. 蒙古、西伯利亚高压
- B. 副热带高压
- C. 印度低压
- D. 阿留申低压

【答案】B

【解析】

【分析】

【详解】根据所学知识梅雨产生于西太平洋副热带高压边缘的锋区, 是极地气团和副热带气团相互作用的产物。梅雨雨带的位置和稳定性, 与副热带高压的位置 (脊线一般稳定在北纬 20°~25°之间) 和强度密切相关, B 正确, 我国冬季风和蒙古、西伯利亚高压相关, 故 A 错误; 印度低压与我国梅雨的位置无关, 故 C 错误; 阿留申低压出线在冬季和梅雨的位置无关, 故 D 错误, 所以该题选 B。

【点睛】夏半年, 随着副高位置的季节性北移和加强, 从海洋上来的暖湿气流随之逐渐北进, 而北方来的冷空气势力逐渐减弱, 冷暖气流在副高北侧交锋形成的降雨带也随之逐渐北上。副高与锋面雨带的位置, 春末, 副高位置大约在北纬 15°~20°, 雨带常位于华南。夏初, 副高西伸北进到北纬 20°~25°左右, 雨带也北移到长江中下游地区直至日本南部, 形成长达 1 个月之久的梅雨季节。7~8 月, 副高进一步北进到北纬 25°~30°, 雨带随之北推到华北、东北地区。9 月, 副高南退, 雨带也随之南移, 北方雨季结束。

9. 地处我国东北的浑江在每年 4 月份会出现一次历时较短、洪峰较小的汛期。该汛期主要的河水补给来源是 ( )

- A. 地下水
- B. 积雪融水
- C. 雨水
- D. 湖泊水

【答案】B

【解析】

【详解】浑江位于我国东北地区, 纬度高, 气温低, 冬季积雪不易融化, 4 月份气温回升快, 积雪快速融化, 形成地表径流补给河流, 形成春汛; 因为积雪融化速度快, 所以春汛历时短, 又因为冬季降雪量较少, 因此洪峰较小。故选 B。

10. 下列洋流中, 与涌升流有关的是 ( )

- A. 日本暖流      B. 加利福尼亚寒流      C. 千岛寒流      D. 北大西洋暖流

【答案】B

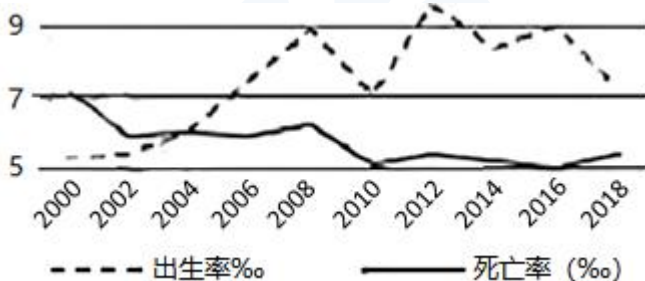
【解析】

【分析】

【详解】根据所学知识日本暖流其形成有三方面的因素: 1、北赤道暖流遇大陆而偏转北上; 2、夏季海洋风的吹拂和东南信风越过赤道形成的西南风的吹拂; 3、地转偏向力的影响, 所以其应为风海流, 故 A 错误; 加利福尼亚寒流受东北信风离岸风的吹拂形成的上升补偿流 (涌升流), 故 B 正确; 千岛寒流为水平补偿流, 故 C 错, 北大西洋暖流主要受盛行西风的影响, 为风海流, 故 D 错误, 所以该题选 B。

【点睛】

11. 读“2000 年-2018 年上海市人口出生率、死亡率变化统计图”。图中反映上海市人口总量的自然变动态势是 ( )



- A. 整体趋减      B. 先减后增      C. 先增后减      D. 逐年波动式增长

【答案】B

【解析】

【分析】

【详解】读图可知 2003 年前上海市人口的死亡率大于出生率, 人口出现负增长, 人口减少, 2003 年后, 出生率大于死亡率, 自然增长率为正值, 人口波动增加, 故 B 正确。

12. 从世界范围看, 人口分布的趋势是向平原和沿海地区集中。下列地区中。人口密度最大的是 ( )

- A. 美国中部平原
- B. 澳大利亚西部沿海地区
- C. 欧洲西部平原
- D. 加拿大东北部沿海地区

【答案】C

【解析】

【分析】

【详解】美国人口主要集中在东北五大湖和大西洋沿岸, 排除 A 选项; 澳大利亚西部沿海地区以热带沙漠气候为主, 炎热干燥, 不适合人类居住, 排除 B 选项; 加拿大东北部沿海地区纬度高, 气候寒冷, 不适宜人类居住, 排除 D 选项; 欧洲西部平原地势平坦, 气候温和, 适宜人类居住。C 选项正确。故选 C。

【点睛】世界上的人口主要集中在平原和沿海地区。极端湿热的热带雨林、极端干旱的沙漠区、高纬度和高海拔寒冷地区, 人口稀少。

13. 下列城市中, 属于世界六大城市群中心城市的是 ( )

- A. 伯明翰
- B. 香港
- C. 华盛顿
- D. 巴黎

【答案】D

【解析】

【详解】世界六大城市群包括: 美国东北部大西洋沿岸城市群, 中心城市是纽约; 北美五大湖城市群, 中心城市是芝加哥; 日本太平洋沿岸城市群, 中心城市是东京; 英国南部城市群, 中心城市是伦敦; 欧洲西部城市群, 中心城市是巴黎; 中国长三角城市群, 中心城市是上海。故选 D。

14. 上海轨交 15 号线北起宝山区顾村公园站, 途经普陀区、长宁区、徐汇区, 南至闵行区紫竹高新区站。

该轨交的建成通车将 ( )

- ①有利于城市郊区化发展
- ②缓解城市交通堵塞问题
- ③改善城市居民居住条件
- ④改善城市空气质量

- A. ①②③      B. ①②④      C. ②③④      D. ①②③④

【答案】B

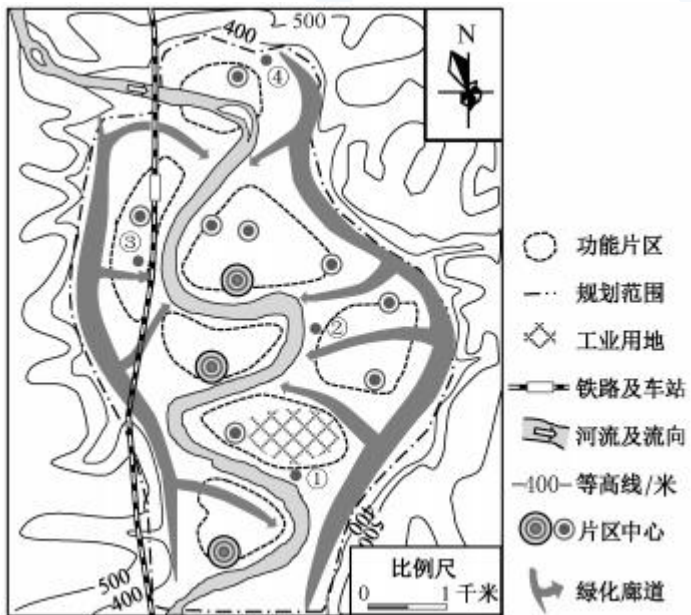
【解析】

【分析】

【详解】根据材料该轨道交通穿越上海 5 个区, 加强了城郊之间的联系, 促进人口产业向郊区迁移, 利于郊区化的发展, ①对; 轨道交通速度快、通行效率高, 利于缓解城市交通堵塞问题, 也有利于减轻污染, 改善城市空气质量, ②④对, 15 号线为全程地下, 主要改善的为交通条件, 对居住条件的改善影响小, ③错, 所以该题选 B。

【点睛】

15. 下图为“某城市空间结构规划示意图”。影响该城市空间形态形成的主要因素是 ( )



- A. 地形      B. 交通      C. 生产力      D. 政策

【答案】A

【解析】

【分析】

本题考查城市空间结构以及读图分析能力。

**【详解】**据图, 从图中可以看出, 该城市位于河流谷地, 城市发展受南北两侧山脉的限制, 河流谷地地形平坦, 河流可以提供水源, 所以城市沿河流延伸, 因此说影响该城市空间形态的主要因素是地形, A 正确。故选 A。

**【点睛】**城市空间结构是指在一定历史时期内, 城市各个要素通过其内在机制相互作用而表现出的空间形态。它由不同功能区的组合和分布构成。城市内部一般可分为住宅区、工业区、商业区、行政区、文化区、旅游区和绿化区等。

16. 山东寿光采用冬暖式大棚种植蔬菜, 是我国著名的“蔬菜之乡”。冬暖式大棚改善了农业区位条件中 ( )

- A. 水热条件      B. 地形条件      C. 市场条件      D. 光照条件

**【答案】**A

**【解析】**

**【分析】**

**【详解】**山东寿光位于温带季风区, 冬季寒冷干燥, 所以冬暖式大棚改善的是水热条件, 满足冬季蔬菜对水热条件的需求, 故 A 正确, 自然排除 BCD。

17. 浙江省绍兴市柯桥区是我国传统的纺织产业集群地, 集聚了化纤、织造, 印染、家纺等众多企业, 这些企业集中在柯桥区可以节省 ( )

- ①劳动力成本 ②基础设施 ③土地资源 ④原料成本

- A. ①②      B. ③④      C. ②③      D. ①④

**【答案】**C

**【解析】**

**【分析】**

**【详解】**工业集聚可以共享基础设施, 节省基建投资, 推进土地资源的集约利用, 节约土地资源, 并不能降低原料成本和劳动力成本, ②③正确, ①④错误。故选 C。

**【点睛】**工业集聚的好处: ①大规模和联合企业生产具有较高的经济效益; ②可共同利用基础设施, 缩短交通运输线和工程管网, 节省基建投资和降低生产成本; ③能综合利用原料、能源和“三废”资源, 生产更多的廉价产品和减少污染; ④有利于专业化和协作化, 便于生产经营管理; ⑤便于组织各种服务性与辅助性企业统一服务, 减少社会消耗。

18. 长江三角洲工业区与京津唐工业区相比, 其区位条件的最大劣势在于 ( )

- A. 市场和集聚      B. 交通和集聚      C. 原料和燃料      D. 交通和技术

**【答案】**C

**【解析】**

**【详解】**长江三角洲工业区是我国经济最为发达、人口最为稠密、交通最为便捷、技术最为先进的地区之一, 而当地的原料和燃料不足; 京津唐工业区交通发达, 运输便利; 具有人才和技术优势, 人口密集, 消费市场广; 原料和燃料资源丰富。故长江三角洲工业区与京津唐工业区相比, 其区位条件的最大劣势在于原料和燃料不足, C 对。

19. 下列部门中, 属于第三产业的是 ( )

- A. 景观设计      B. 滩涂养殖      C. 商品房建筑      D. 卫生设备制造

**【答案】**A

**【解析】**

**【分析】**

本题考查三次产业的分类。

**【详解】**滩涂养殖属于第一产业, 商品房建筑和卫生设备制造属于第二产业, 景观设计属于第三产业。故选 A。

**【点睛】**三次产业的范围: 第一产业是指农、林、牧、渔业。第二产业是指采矿业, 制造业, 电力、热力、

燃气及水生产和供应业, 建筑业。第三产业即服务业, 是指除第一产业、第二产业以外的其他行业。第三产业包括: 批发和零售业, 交通运输、装卸搬运和仓储业和邮政业, 住宿和餐饮业, 信息传输、软件和信息技术服务业, 金融业, 房地产业, 租赁和商务服务业, 科学研究和技术服务业, 水利、环境和公共设施管理业, 居民服务、修理和其他服务业, 教育, 卫生和社会工作, 文化、体育和娱乐业, 公共管理、社会保障和社会组织, 国际组织, 以及农、林、牧、渔业中的农、林、牧、渔专业及辅助性活动, 开采专业及辅助性活动, 制造业中的金属制品、机械和设备修理业。

20. 在世界产业结构调整过程中, 一些劳动力密集型和资源密集型工业由发达国家向发展中国家转移, 这种转移将导致发展中国家 ( )

- ①环境污染加剧 ②农业总产值下降 ③对外贸易额增加 ④就业率升高

- A. ①②③ B. ②③④ C. ①③④ D. ①②④

【答案】C

【解析】

【分析】

【详解】根据所学知识劳动力密集型和资源型工业的迁入会加剧环境污染, 同时提供就业机会, 使就业率上升, 加强了与发达国家的联系, 促进对外贸易的发展, 故①③④正确; 产业转移促进转入地区的工业化和城市化水平的提高, 使第一产业比重下降, 但农业总产值不一定下降, 故②错误, 所以该题选C。

【点睛】产业转移对转入地区的影响: 发展中国家就受发达国家产业转移, 加快本国或地区经济结构调整, 缩短产业升级时间, 加快工业进程发展劳动密集型, 资源密集型产业, 发展处于成熟期和衰退期阶段的产业, 组织产品加工改变区域地理景观, 接受产业转移的同时也接受了环境污染大量吸收国际产业转移, 有助于缓解就业压力。

## 二、综合分析题(共 60 分)

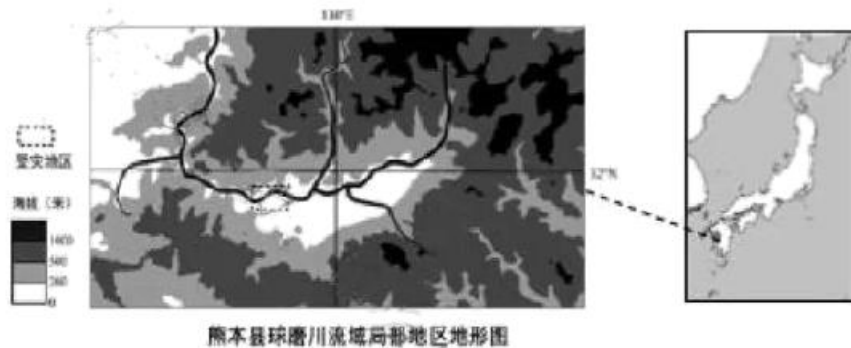
21. 当地时间 2020 年 7 月 5 日, 受持续暴雨天气影响, 日本九州地区熊本县发生了一系列自然灾害。阅读图文资料, 回答问题。

材料一:2020 年 7 月 5 日, 日本熊本县降下 50 年一遇的大暴雨, 球磨川流域发生了大规模洪灾, 当地

还相继发生了山体滑坡、泥石流等灾害: 截止 6 日, 造成了四十多人死亡, 十多人失踪, 受灾人口超过二十万。

下表近二十年来熊本县重大自然灾害统计

时间	自然灾害	时间	自然灾害
2000.6.8	地震	2012.4.2	强风
2003.7.18	洪涝、滑坡、泥石流等	2012.7.11	洪涝、滑坡、泥石流等
2005.7.1	洪涝、滑坡。泥石流等	2012.9.15	台风, 洪涝、滑坡、泥石流等
2005.9.3	台风, 洪涝、滑坡、泥石流等	2015.7.13	地震
2007.7.5	洪涝、滑坡、泥石流等	2016.4.14	地震
2008.6.19	洪涝、滑坡、泥石流等	2017.7.5	大雨、强风
2011.6.10	洪涝、滑坡、泥石流等	2020.7.4	洪涝、滑坡、泥石流等



(1) 所示材料体现了自然灾害的哪些基本特征?

(2) 据表归纳熊本县洪涝灾害发生的两个主要时间段, 并分别分析原因。

(3) 从地形角度, 分析此次受灾地区易发生洪涝灾害的主要原因。

(4) 列举熊本县在减轻洪涝灾害方面可以采取的主要措施。

**【答案】** (1) ①频繁性和不确定性; ②周期性; ③联系性; ④造成的危害具有严重性。

(2) 两个主要时间段: 6、7月份和9月份。

原因: ①6、7月份主要受梅雨天气的影响, 多连续性降水, 引发洪涝灾害; ②9月份主要受到沿岸台风的影响, 带来持续性降水, 引发洪涝灾害。

(3) ①重灾区上游山地发育多条河流, 径流量大; ②上游地区地势起伏大, 流速快, 汇水速度快; ③重灾区地势平坦, 流速缓慢, 易积水; ④重灾区下游, 河道狭窄, 不利于排水。

(4) ①工程措施: 修筑堤坝、整治河道、修建水库、修建分洪区、修建入海河道等; ②非工程措施: 利用气象卫星, 加强对暴雨、洪水、台风等自然灾害的监测和预报; 建立洪水的预报、警报系统; 加强洪泛区的土地管理; 退耕还湖拟定居民的应急撤离计划和对策; 实施防洪保险等。

**【解析】**

**【分析】**

本题以日本熊本县为背景, 考查了自然灾害的特点、洪涝灾害的成因以及措施。

**【详解】** (1) 由近二十年来熊本县重大自然灾害统计表可知, 自然灾害具有频繁性和不重复性(主要指受灾情况)、周期性; “球磨川流域发生了大规模洪灾, 当地还相继发生了山体滑坡、泥石流等灾害”体现了自然灾害具有联系性; “截止6日, 造成了四十多人死亡, 十多人失踪, 受灾人口超过二十万”体现了自然灾害造成的危害具有严重性。

(2) 从表中信息可得, 洪涝灾害主要发生在6、7月份和9月份; 6、7月份南下冷空气与北上暖空气相遇, 本地区进入“梅雨”时期, 多连续性降水, 进而引发洪涝灾害; 并且9月份发生洪涝灾害同时也有台风。日本沿海地区, 此时台风带来暴雨, 从而引发洪涝灾害。

(3) 从图中可以看出重灾区地势平坦, 易积水; 上游山地发育多条河流, 地表起伏大, 流速快, 汇水速度也快; 而重灾区下游两侧有山地河道较窄, 不利于积水的排出。

(4) 主要从工程措施和非工程措施两个方面回答。工程措施: 修筑堤坝、整治河道、修建水库、修建分洪区、修建入海河道等, 起到分洪水、蓄洪, 调节洪水的作用; 非工程措施: 利用气象卫星, 加强对暴雨、洪水、台风等自然灾害的监测和预报; 建立洪水的预报、警报系统; 加强洪泛区的土地管理; 退耕还湖拟定居民的应急撤离计划和对策; 实施防洪保险等。起到预警作用, 提高防洪意识以及应对洪水的经验。

【点睛】1.自然灾害的特点归结起来主要表现在六个方面:

①自然灾害具有广泛性与区域性; ②自然灾害具有频繁性和不确定性, 全世界每年发生的大大小小的自然灾害非常多; ③自然灾害具有一定的周期性和不重复性; ④自然灾害具有联系性; ⑤各种自然灾害所造成的危害具有严重性; ⑥自然灾害具有不可避免性和可减轻性。

2.洪涝灾害的影响因素

地形、气候、河流水文、水系特征、植被、土壤、自然资源等

人为原因: 植被破坏、围湖造田、资源开发 (人类活动通过影响植被、河流水文、湖泊、土壤等条件影响洪涝灾害的形成)

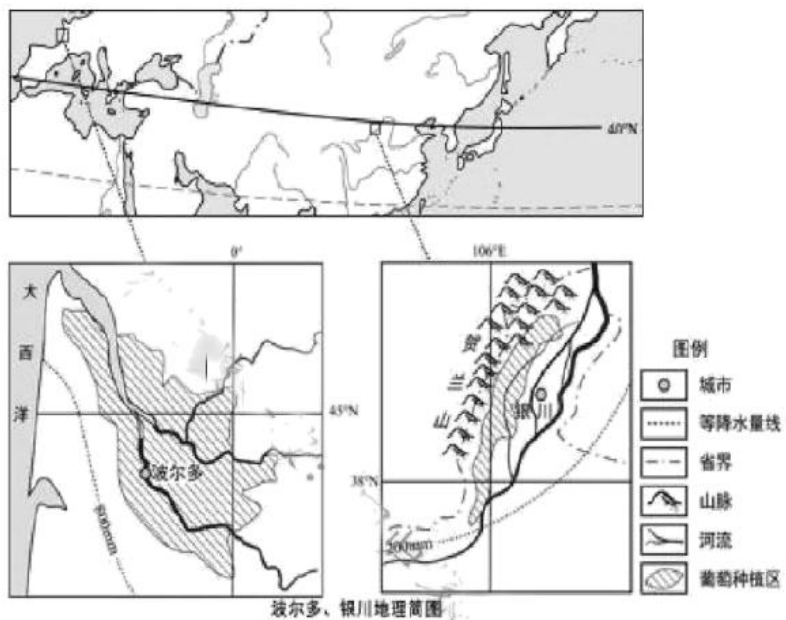
22. 阅读图文资料, 回答问题。

宁夏贺兰山东麓被称为酿酒葡萄种植的“黄金地带”, 原产于法国波尔多的赤霞珠是宁夏当地种植最广泛的红葡萄品种。

材料一: 4月份是赤霞珠的萌芽期, 若遇到低于-3°C的低温, 则易遭受霜冻的威胁。7、8月是赤霞珠的生长期, 若降水量过多, 则浆果的含糖量较低, 难以酿制优质酒。赤霞珠的根系较浅, 若在重盐碱地, 沼泽地或土质黏重, 通透性差的土壤中种植, 则生产能力较弱。

材料二: 宁夏贺兰山东麓多为砂砾土、风沙土, 土壤中矿物元素的含量较低。

材料三: 宁夏的葡萄种植大多以小型化、分散式经营, 当地专业技术人员缺乏, 农户对葡萄的高效栽培了解不深。本地大规模的葡萄酒加工企业较少, 且产品的知名度不高。



- (1) 贺兰山东麓与波尔多的地理环境差异明显, 两地分别属于何种陆地自然带?
- (2) 在贺兰山东麓与波尔多两地中, 赤霞珠在萌芽期受霜冻灾害威胁较小的可能是何地?说明理由。
- (3) 判断贺兰山东麓的农业地域类型。从自然地理角度, 分析当地种植赤霞珠的区位优势条件。
- (4) 从可持续发展的角度, 为宁夏贺兰山东麓的酿酒葡萄产业发展提出合理的建议。(6分)

- 【答案】**
- (1) 贺兰山东麓陆地: 自然带是温带森林草原带; 波尔多: 陆地自然带是亚热带常绿硬叶林带。
  - (2) 赤霞珠在萌芽期受霜冻灾害威胁较小是波尔多。波尔多, 春季气温回暖, 气温较高; 贺兰山东麓气候寒冷, 虽位于冬季风的背风坡, 气流下沉增温, 气温仍然较低。
  - (3) 灌溉农业; 葡萄生长季节热量充足, 日照时间长, 昼夜温差大; 贺兰山阻挡西部风沙和西北冷空气, 降低霜冻危害; 地形平坦开阔; 砾质沙土, 土壤透气性好; 临近黄河, 水源充足; 冬季寒冷, 病虫害少。
  - (4) 合理扩大种植面积, 集约化经营; 引进人才, 加强培训, 提高技术水平; 加强农业技术培训; 加大政府支持力度, 引入大型企业入驻; 提升品质, 实现高端化发展; 提高知名度; 打造产业品牌, 提升国际市场竞争力; 发展相关产业, 打造文化生态经济带。

### 【解析】

### 【分析】

本题主要考查了农业区位因素, 工业区位因素及如何实现可持续发展。

【详解】(1)由图中的经纬度及所学知识可知, 贺兰山东麓位于中国东部季风区与非季风区的过渡带, 陆地自然带是温带森林草原带; 波尔多位于欧洲大西洋沿岸, 夏季受副热带高气压带影响, 炎热干燥, 冬季受西风影响, 温和多雨, 陆地自然带是亚热带常绿硬叶林带。

(2)由两地所处的经纬度可判断, 波尔多位于欧洲大西洋沿岸, 冬季受西风影响, 温和湿润, 春季气温回暖, 气温较高; 贺兰山东麓气候寒冷, 虽位于冬季风的背风坡, 气流下沉增温, 气温比周边地区较中, 但气温仍然较低; 根据材料“4月份是赤霞珠的萌芽期, 若遇到低于-3°C的低温, 则易遭受霜冻的威胁”可知, 赤霞珠在萌芽期受霜冻灾害威胁较小是波尔多。

(3)由所学知识可推断, 贺兰山东麓的农业地域类型灌溉农业; 贺兰山东麓葡萄生长季节热量充足, 日照时间长, 昼夜温差大, 有利于葡萄糖分积累; 贺兰山起到天然屏障作用, 阻挡西部风沙和西北冷空气, 增加区域积温, 降低霜冻危害; 地形平坦开阔, 有利于种植葡萄; 由材料“宁夏贺兰山东麓多为砂砾土、风沙土”可知, 砾质沙土, 土壤透气性好, 有利于葡萄的扎根; 由图可知, 临近黄河, 灌溉水源充足; 冬季寒冷、气候干燥和昼夜温差大等条件, 使得贺兰山东麓葡萄种植区病虫害少。

(4)由材料中信息可知, “宁夏的葡萄种植大多以小型化、分散式经营”, 可以合理扩大该地葡萄种植面积, 实现集约化经营, 获得规模效益; “当地专业技术人员缺乏”, 可以引进人才, 加强培训, 提高专业技术人员技术水平; “农户对葡萄的高效栽培了解不深”, 可以加大对种植农户的农业技术培训, 提高高效栽培技术; “本地大规模的葡萄酒加工企业较少, 且产品的知名度不高”, 加大政府支持力度, 实施优惠政策, 引入大型企业入驻; 提升酿酒葡萄和葡萄酒品质, 实现高端化发展; 加大宣传力度, 提高本地葡萄酒的知名度; 打造当地葡萄产业品牌, 提升国际市场竞争力; 大力发展葡萄产业与其相关的体验经济、地产经济和文化旅游经济, 打造知名葡萄文化生态经济带。

### 【点睛】

23. 阅读图文资料, 回答问题。

2020年我国火星探测器“天问一号”发射升空, 将对火星表面形态等开展科学探测。从气候到地貌, 我国的柴达木盆地是最具代表性的类火星环境, 对其进行的科学考察能为火星探测提供极为重要的类比资料。

材料一: 美国火星探测器曾在1976年测得火星表面两地的昼夜温差均在50°C左右。柴达木盆地同样气温变化剧烈, 昼夜温差常在30°C左右, 且风力强盛, 8级以上大风日数年均可达25-75天。类火星环境对柴达木盆地的经济发展有一定的影响, 当地政府扬长避短, 把新能源开发作为经济增长的战略性主导产

业来培育。

下表地球与火星主要数据对比

行星	质量 (地球=1)	体积 (地球=1)	表面平均温度 (°C)
地球	1	1	1
火星	0.11	0.15	-23



图1 柴达木盆地典型地貌景观



图2 柴达木盆地地理简图

- (1) 柴达木盆地与火星表面昼夜温差大的共同原因是什么?两者形成的根本原因有何不同?
- (2) 判断柴达木盆地典型地貌的所属类型。从地理环境整体性的角度, 分析该种地貌在柴达木盆地的形成原因。
- (3) 阐述柴达木盆地重点发展新能源产业的合理性。

(4) 从市场角度分析柴达木盆地开发新能源可能会遇到的问题, 并提出针对性的解决措施。

**【答案】** (1) 共同原因: 白天大气对太阳辐射削弱作用弱, 夜晚大气逆辐射弱。火星体积小, 质量小, 大气稀薄, 白天对太阳辐射削弱作用小, 夜晚大气保温作用弱, 昼夜温差大。柴达木盆地, 晴天多, 白天对太阳辐射削弱作用小, 夜晚大气对地面的保温作用弱, 昼夜温差大。

(2) 风蚀地貌。柴达木盆地深居内陆, 气候干旱, 以风力作用为主, 在风力侵蚀作用下, 形成风蚀地貌。

(3) 柴达木盆地风力强盛, 可发展风电。柴达木盆地深居内陆, 晴天多, 太阳能资源丰富, 可利用太阳能发电。

(4) 本地市场小; 距离东部发达地区远。采用超高压输电技术, 进行远距离输电; 本地发展耗能大的工业; 进行能源结构调整, 提高新能源消费比重。

### 【解析】

#### 【分析】

本题主要考查柴达木盆地自然环境特征及其对生产活动的影响等知识点。

**【详解】** (1) 昼夜温差大是因为白天大气对太阳辐射削弱作用弱, 夜晚大气逆辐射弱导致的。火星体积小, 质量小, 表面大气稀薄, 白天对太阳辐射削弱作用小, 到达地面的太阳辐射多, 升温快; 夜晚大气对地面的保温作用弱, 地面降温快。柴达木盆地深居内陆, 降水少, 晴天多, 白天对太阳辐射削弱作用小, 到达地面的太阳辐射多, 升温快; 夜晚大气对地面的保温作用弱, 地面降温快。

(2) 据图判断, 柴达木盆地典型地貌是风力侵蚀形成的风蚀地貌。从地理环境整体性的角度看, 柴达木盆地深居内陆, 海洋水汽难以到达, 降水少, 气候干旱, 以风力作用为主, 在风力侵蚀作用下, 形成风蚀地貌, 如风蚀蘑菇、风蚀洼地、风蚀柱。

(3) “柴达木盆地风力强盛, 8级以上大风日数年均可达25-75天”, 据此判断, 柴达木盆地可以发展风电。柴达木盆地深居内陆, 海洋水汽难以到达, 降水少, 气候干旱, 晴天多, 太阳能资源丰富, 可以发展太阳能发电。

(4) 从市场角度分析, 柴达木盆地新能源丰富, 但是人口少, 本地市场小; 距离东部发达地区远, 能源远距离输送成本高。采用超高压输电技术, 进行远距离输电; 本地大力发展耗能大的工业, 变能源优势为经济优势; 本地进行能源结构调整, 提高新能源消费比重。

如需咨询课程, 请添加微信: 137 0179 5269

【点睛】

点睛